ISSN: 2582-4686 SJIF 2021-3.261,SJIF 2022-2.889, 2024-6.875 ResearchBib IF: 9.948 / 2024

THE MULTIDISCIPLINARY JOURNAL OF SCIENCE AND TECHNOLOGY

VOLUME-5, ISSUE-11

ИЗМЕНЕНИЕ МОМЕНТОВ ИНЕРЦИИ ПРИ ПАРАЛЛЕЛЬНОМ ПЕРЕНОСЕ ОСЕЙ

Э.И. Турапов
к.т.н. доцент кафедры «Технология машиностроения» Алмалыкского государственного технического института
Б.Б. Хасанов
Старший преподаватель кафедры «Технология машиностроения» Алмалыкского государственного технического института
Т.Г. Содиков
Студент группы 8-22 МТ Алмалыкского государственного технического института
Ж.У. Абдухошимов
Студент группы 8-22 МТ Алмалыкского государственного технического института

Часто при решении практических задач необходимо определять моменты инерции сечения относительно осей, различным образом ориентированных в его плоскости. При этом удобно использовать уже известные значения моментов инерции всего сечения (или отдельных составляющих его частей) относительно других осей, приводимые в технической литературе, специальных справочниках и таблицах, а также подсчитываемые по имеющимся формулам. Поэтому очень важно установить зависимости между моментами инерции одного и того же сечения относительно разных осей.

В самом общем случае переход от любой старой к любой новой системе координат может рассматриваться как два последовательных преобразования старой системы координат:

а) путем параллельного переноса осей координат в новое положение и

б) путем поворота их относительно нового начала координат.

Рассмотрим первое из этих преобразований, т. е. параллельный перенос координатных осей.

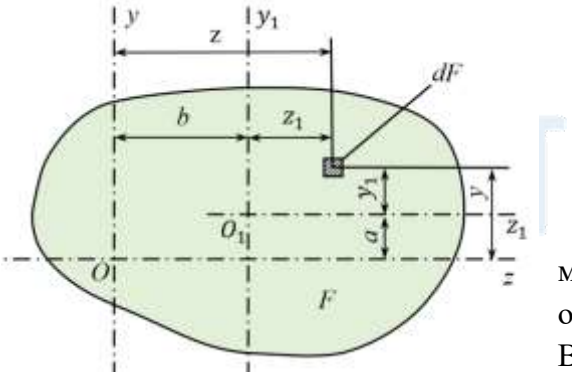


Рис.1.

Предположим, что моменты инерции J_y, J_z и J_{yz} данного сечения относительно старых осей y и z (рис.1.) известны. Возьмем новую систему координат y_1z_1, оси которой параллельны прежним. Обозначим a и b координаты точки O_1 (т. е. нового начала координат) в старой системе координат yz.

Рассмотрим элементарную площадку dF. Координаты ее в старой системе координат равны y и z. В новой системе они равны $y_1 = y - a$ и $z_1 = z - b$. Подставим эти значения координат в выражение осевого момента инерции относительно оси z_1:

$$J_{z_1} = \int_F y_1^2\, dF = \int_F (y - a)^2 dF = \int_F y^2\, dF - 2a \int_F y\, dF + a^2 \int_F dF.$$

ISSN: 2582-4686 SJIF 2021-3.261,SJIF 2022-2.889, 2024-6.875 ResearchBib IF: 9.948 / 2024

THE MULTIDISCIPLINARY JOURNAL OF SCIENCE AND TECHNOLOGY

VOLUME-5, ISSUE-11

В полученном выражении $\int_F y^2 dF$ — момент инерции J_z, $\int_F y\, dF$ — статический момент S_z сечения относительно оси z $\int_F dF$— площадь F сечения. Следовательно,

$$J_{z_1} = J_z - 2aS_z + a^2F \qquad (1)$$

Если ось z проходит через центр тяжести сечения, то статический момент $S_z = 0$ и

$$J_{z_1} = J_z + a^2F \qquad (2)$$

Из формулы (25.5.2) видно, что момент инерции относительно любой оси, не проходящей через центр тяжести, больше момента инерции относительно оси, проходящей через центр тяжести, на величину a^2F, которая всегда положительна. Следовательно, из всех моментов инерции относительно параллельных осей осевой момент инерции имеет наименьшее значение относительно оси, проходящей через центр тяжести сечения.

Момент инерции относительно оси y_1:

$$J_{y_1} = J_y - 2bS_y + b^2F \qquad (3)$$

В частном случае, когда ось y проходит через центр тяжести сечения:

$$J_{y_1} = J_y + b^2F \qquad (4)$$

Формулы (2) и (4) широка используются при вычислении осевых моментов инерции сложных (составных) сечений.

Подставим теперь значения $y_1 = y - a$ и $z_1 = z - b$ в выражение центробежного момента инерции относительно осей y_1 и z_1:

$$J_{y_1z_1} = \int_F y_1 z_1\, dF = \int_F (y - a)(z - b)dF = \int_F yz\, dF - b\int_F y\, dF - a\int zdF + ab\int_F dF$$

В полученном выражении

$$\int_F yz\, dF = J_{yz}\,,\ \int_F y\, dF = S_z\,,\ \int z\, dF = S_y\,,\ \int_F dF = F.$$

Следовательно,

$$J_{y_1z_1} = J_{yz} - aS_y - bS_z + abF. \qquad (5)$$

В частном случае, когда начало старой системы координат yz находится в центре тяжести сечения,

$$S_y = S_z = 0$$

$$J_{y_1z_1} = J_{yz} + abF. \qquad (6)$$

Если сечение симметрично и одна из старых осей (или обе) совпадают с осью симметрии, то $J_{yz} = 0$ и выражение (6) принимает вид

$$J_{y_1z_1} = abF. \qquad (7)$$

ЛИТЕРАТУРА

1. Белявский С.М. (1967) Руководство к решению задач по сопротивлению материалов
2. А. В. ДАРКОВ, Г.С.ШПИРО. (1975) Сопротивление материалов
3. Вольмир А.С. (1984) Сборник задач по сопротивлению материалов
4. Хасанов Б.Б. “РАСЧЕТ СТАТИЧЕСКИ ОПРЕДЕЛИМОЙ СТЕРЖНЕВОЙ СИСТЕМЫ”. ISSN: 2582-4686 SJIF 2021-3.261, SJIF 2022-2.889, 2023-5.384 ResearchBib IF: 8.848 / 2024. Multidisciplinary journal of science and technology, VOLUME-4, ISSUE-12. 4(12), 292–295.

https://doi.org/10.5281/zenodo.14501838

5. B.B. Xasanov., “BURALISH DEFORMATSIYASI”. TECHNICAL SCIENCE RESEARCH IN UZBEKISTAN, 1(5), 547–551. Retrieved from. ISSN (E): 2992-9148 ResearchBib Impact Factor: 9.576 / 2023. VOLUME-1, ISSUE-5
https://doi.org/10.5281/zenodo.10448458

6. Khudjaev M. Shakov V. Khasanov B. “Modeling fluid outflow from a channel consisting of a cylindrical section of a constant radius, and an expanding outlet section”. WEB OF SCIENTIST: INTERNATIONAL SCIENTIFIC RESEARCH JOURNAL ISSN: 2776-0979, Volume 3, Issue 4, April., 2022.
https://wos.academiascience.org

7. Khasanov B. B. (2025). “TORSION OF RODS. B INTERNATIONAL BULLETIN OF ENGINEERING AND TECHNOLOGY” (Т. 5, Выпуск 5, сс. 222–224). Zenodo.
https://doi.org/10.5281/zenodo.15601456

8. Khudjaev M. K. Khasanov B. B. “STATICS OF A TRIANGULAR WEDGE”. International Journal of Mechatronics and Applied Mechanics 2025, Issue 20, Vol. 1. 202–207.
https://ijomam.com/issue-20/

9. Бобоев Х.Х., Хасанов Б.Б. СТАТИЧЕСКИ НЕОПРЕДЕЛИМЫЕ СТЕРЖНЕВЫЕ СИСТЕМЫ. Multidisciplinary journal of science and technology. ISSN: 2582-4686 SJIF 2021-3.261,SJIF 2022-2.889, 2024-6.875 ResearchBib IF: 8.848 / 2024
https://doi.org/10.5281/zenodo.14564951

10. Хасанов Б.Б. (2025). ОБЪЕМНАЯ ДЕФОРМАЦИЯ. Multidisciplinary journal of science and technology, 5(6), 1093–1095. ISSN: 2582-4686 SJIF 2021-3.261,SJIF 2022-2.889, 2024-6.875 ResearchBib IF: 9.948 / 2024
https://doi.org/10.5281/zenodo.15664985

11. Хасанов Б.Б., ПОТЕНЦИАЛЬНАЯ ЭНЕРГИЯ ДЕФОРМАЦИИ ПРИ ИЗГИБЕ. Multidisciplinary journal of science and technology, 5(6), 1087–1089. SSN: 2582-4686 SJIF 2021-3.261,SJIF 2022-2.889, 2024-6.875 ResearchBib IF: 9.948 / 2024
https://doi.org/10.5281/zenodo.15664964

12. Turapov E.I. (2025). MOMENTS OF INERTIA, SECTION MODULI, AND RADII OF GYRATION OF PLANE SECTIONS. Multidisciplinary Journal of Science and Technology, 5(11), 308–310.
https://doi.org/10.5281/zenodo.17582774

13. Turapov E.I., Khasanov B.B., Khurramov D.X. (2025). CENTRAL TENSION AND COMPRESSION OF RODS. Vol. 4 No. 10 (2025): Journal of Multidisciplinary Sciences and Innovations 601-606. Published: 2025-11-05. ISSN NUMBER: 2751-4390 IMPACT FACTOR: 9,08
https://ijmri.de/index.php/jmsi/article/view/2742/2679